

Supplementary Materials:

***Sargassum natans* I algae: An Alternative for a Greener Approach for the Synthesis of ZnO Nanostructures with Biological and Environmental Applications**

Jose Luis López-Miranda ¹, Fabian Mares-Briones ¹, Gustavo A. Molina ¹, M. A. González-Reyna ¹, Isaac Velázquez-Hernández ¹, Beatriz Liliana España-Sánchez ², Rodolfo Silva ³, Rodrigo Esparza ¹ and Miriam Estévez ^{1,*}

¹ Centro de Física Aplicada y Tecnología Avanzada, Universidad Nacional Autónoma de México, Boulevard Juriquilla 3001, Querétaro 76230, Mexico; lopezfim@gmail.com (J.L.L.-M.); fabianmares@gmail.com (F.M.-B.); gamol@fata.unam.mx (G.A.M.); marlengonzalez@fata.unam.mx (M.A.G.-R.); isaacvh_qi@hotmail.com (I.V.-H.); resparza@fata.unam.mx (R.E.)

² CONACYT_Centro de Investigación y Desarrollo Tecnológico en Electroquímica SC, Parque Tecnológico Querétaro s/n Sanfandila, Pedro Escobedo 76703, Mexico; lespana@cideteq.mx

³ Instituto de Ingeniería, Universidad Nacional Autónoma de México, Edificio 17, Ciudad Universitaria, Coyoacán, Mexico City 04510, Mexico; rsilvac@iingen.unam.mx

* Correspondence: miries@fata.unam.mx

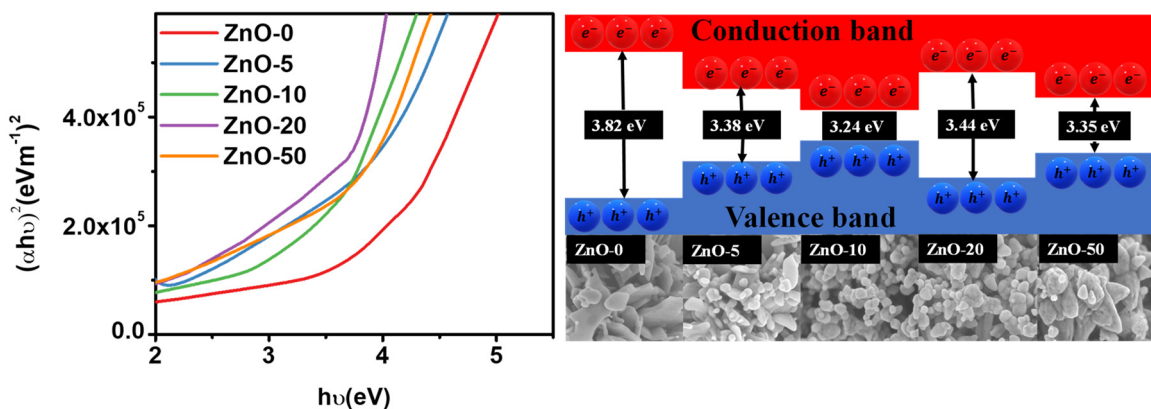


Figure S1. Determination of band gap obtained from the UV-Vis spectra using the Tauc equation.

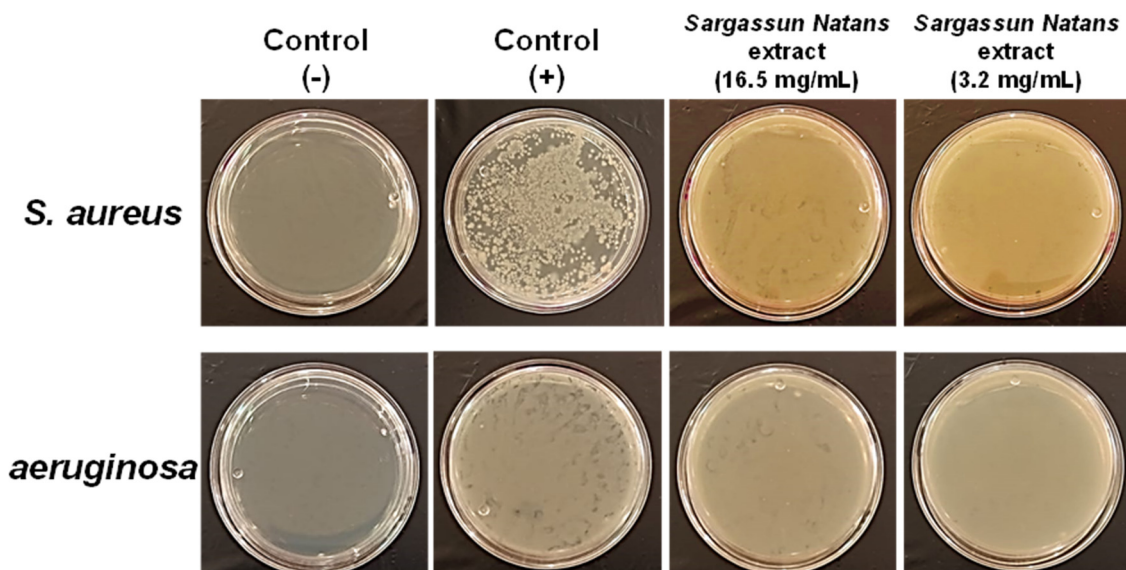


Figure S2. Antibacterial activity of *Sargassum natans* I alga extract by microdilution method after 3 h of contact against *S. aureus* and *P. aeruginosa*.



Figure S3. Different species of *Sargassum* algae that arrive in the Caribbean: (a) *natans* I, (b) *natans* VIII, and (c) *Fluitans* III.



Figure S4. Typical image of the *Sargassum natans I* alga extract.